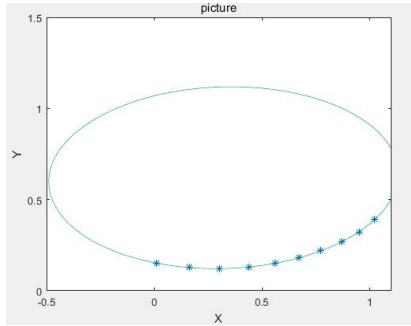
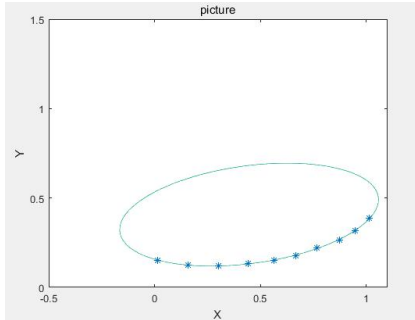


## 数值实验报告（四）

姓名	杜鸿宇	学号	2016141211 049	提交日期	2019.4.9
实验名称	第四次数值实验			实验工具	MATLAB
实验内容	<p>1、Page 133 E 3.3;</p> <p>2、Page 133 E 3.5;</p> <p>3、Page 135 E 3.11;</p> <p>4、Page 135 E 3.12.</p>				
实验结果	<p><b>Page 133 E 3.3</b></p> <p>(a) 经过计算机计算得到:</p> $time(lu(10000)) \approx 18.4911s$ <p>(b) 实际的值为: <math>1.4175 \times 10^9</math>。每次计算略有波动,但大体不会变。理论的数量级和值为: <math>1.3333 \times 10^9</math>。我们得到机器值和理论值有一定的误差,但数量级不会改变。</p> <p><b>Page 133 E 3.5</b></p> <p>(a) 参数值: <math>a=-2.6356</math>, <math>b=0.1436</math>, <math>c=0.5514</math>, <math>d=3.2229</math>, <math>e=-0.4329</math></p> <p>图像:</p>  <p>(b) 图像:</p>  <p>参数的新值: <math>a=-4.5050</math>, <math>b=1.2432</math>, <math>c=0.3863</math>, <math>d=3.1119</math>, <math>e=-0.3782</math></p>				

图像看出即使是微小的扰动，对轨道的变化影响也非常的大。

(c) 经过列主元变换后的 R 矩阵为：

-3.1623	-1.8183	-0.4510	-0.6514	-0.1586
0	-1.0287	-0.3659	-0.2350	-0.1106
0	0	0.1543	0.1447	0.0819
0	0	0	-0.0301	0
0	0	0	0	-0.0063

通过对其对角元的分析我们得到：

当  $k=-5$  时：rank=5

当  $k=-4$  时：rank=5

当  $k=-3$  时：rank=5

当  $k=-2$  时：rank=4

当  $k=-1$  时：rank=3

$k=-5$  时，不扰动系数值：a=-2.6356, b=0.1436, c=0.5514, d=3.2229, e=-0.4329

$k=-4$  时，不扰动系数值：a=-2.6356, b=0.1436, c=0.5514, d=3.2229, e=-0.4329

$k=-3$  时，不扰动系数值：a=-2.6356, b=0.1436, c=0.5514, d=3.2229, e=-0.4329

$k=-2$  时，不扰动系数值：a=0.0000, b=-1.2566, c=0.7655, d=3.2255, e=-0.4890

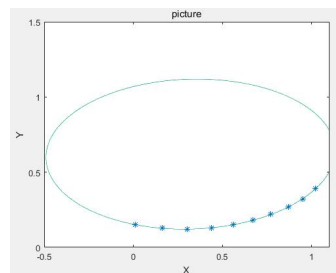
$k=-1$  时，不扰动系数值：a=0.0000, b=1.7688, c=0.4267, d=0.0000, e=-0.0609

$k=5, 4, 3$  扰动系数值：a=-3.9241, b=0.8927, c=0.4360, d=3.1876, e=-0.4017

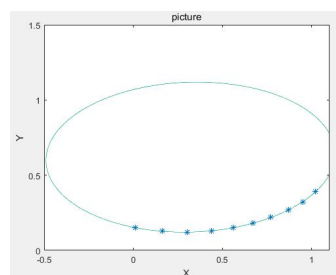
$k=2$  时，扰动系数值：a=0.0000, b=-1.1542, c=0.7520, d=3.1457, e=-0.4795

$k=1$  时，扰动系数值：a=0.0000, b=1.7543, c=0.4344, d=0.0000, e=-0.0637

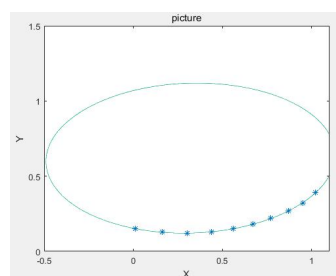
$k=-5$  时的不扰动图像：



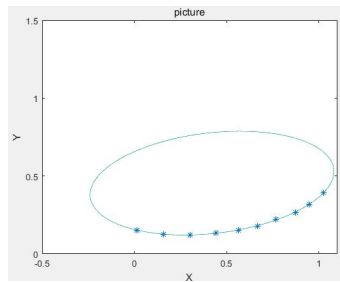
$k=-4$  时的不扰动图像：



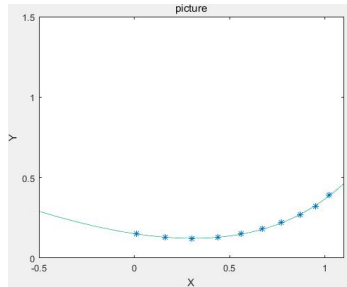
$k=-3$  时的不扰动图像：



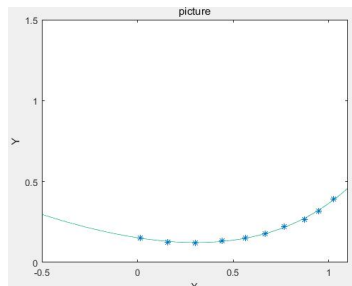
秩不变时候的扰动图像：



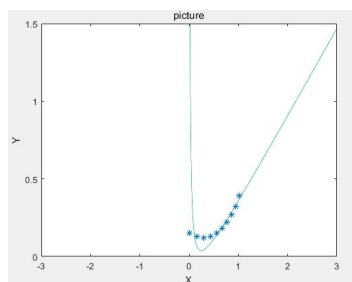
$k=-2$  时的不扰动图像：



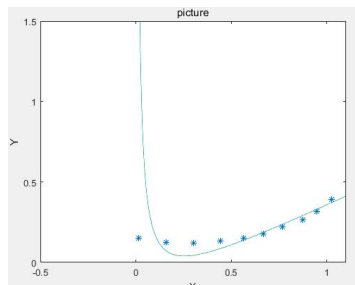
$k=-2$  时的扰动图像：



$k=-1$  时的不扰动图像：



$k=-1$  时的扰动图像：



结论：rank=4 的时候最好，因为这时候的扰动性最小，扰动过后的图与原来的图几乎没有什么区别。若考虑行星的轨道椭圆，则满秩的时候最好，因为这时候的拟合是一个椭圆，满足自然规律。

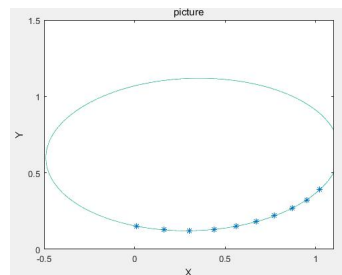
(d) 奇异值矩阵为:

$$\begin{bmatrix} 3.7860 & 0 & 0 & 0 & 0 \\ 0 & 0.9449 & 0 & 0 & 0 \\ 0 & 0 & 0.2089 & 0 & 0 \\ 0 & 0 & 0 & 0.0230 & 0 \\ 0 & 0 & 0 & 0 & 0.0055 \\ 0 & 0 & 0 & 0 & 0 \\ 0 & 0 & 0 & 0 & 0 \\ 0 & 0 & 0 & 0 & 0 \\ 0 & 0 & 0 & 0 & 0 \\ 0 & 0 & 0 & 0 & 0 \end{bmatrix}$$

(e) 当 k=5 的时候:

轨道参数值:  $a=-2.6356$ ,  $b=0.1436$ ,  $c=0.5514$ ,  $d=3.2229$ ,  $e=-0.4329$

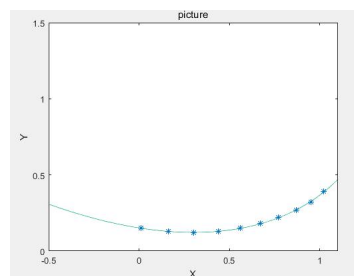
图像:



当 k=4 的时候:

轨道参数:  $a=-0.6528$ ,  $b=-0.9451$ ,  $c=0.7168$ ,  $d=3.2610$ ,  $e=-0.4800$

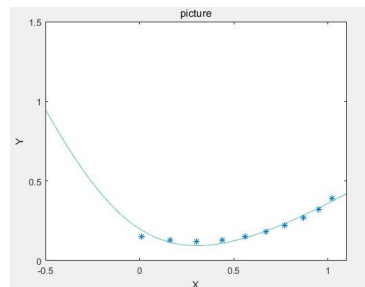
图像:



当 k=3 的时候:

轨道参数:  $a=0.4192$ ,  $b=0.8769$ ,  $c=0.5253$ ,  $d=0.7561$ ,  $e=-0.1674$

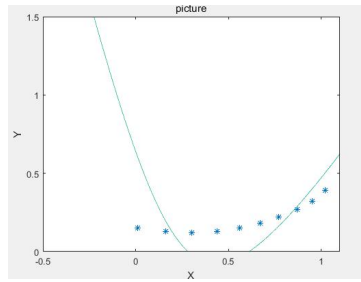
图像:



当 k=2 的时候:

轨道参数:  $a=0.1044$ ,  $b=0.3410$ ,  $c=0.8918$ ,  $d=0.2025$ ,  $e=-0.1718$

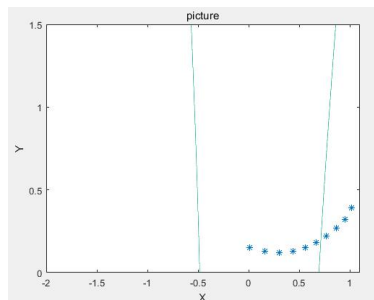
图像:



当  $k=1$  的时候:

轨道参数:  $a=0.0190$ ,  $b=0.0547$ ,  $c=0.2117$ ,  $d=0.0737$ ,  $e=0.3361$

图像:



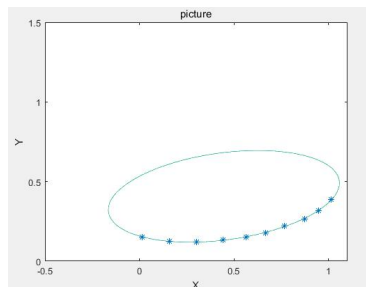
(f) 扰动之后的奇异值矩阵:

$$\begin{bmatrix} 3.7837 & 0 & 0 & 0 & 0 \\ 0 & 0.9374 & 0 & 0 & 0 \\ 0 & 0 & 0.2044 & 0 & 0 \\ 0 & 0 & 0 & 0.0235 & 0 \\ 0 & 0 & 0 & 0 & 0.0060 \\ 0 & 0 & 0 & 0 & 0 \\ 0 & 0 & 0 & 0 & 0 \\ 0 & 0 & 0 & 0 & 0 \\ 0 & 0 & 0 & 0 & 0 \\ 0 & 0 & 0 & 0 & 0 \end{bmatrix}$$

当  $k=5$  的时候:

轨道参数值:  $a=-4.5050$ ,  $b=1.2432$ ,  $c=0.3863$ ,  $d=3.1119$ ,  $e=-0.3782$

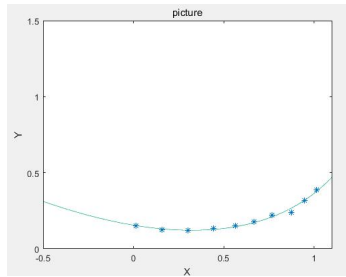
图像:



当  $k=4$  的时候:

轨道参数:  $a=-0.4879$ ,  $b=-0.8564$ ,  $c=0.7096$ ,  $d=3.0780$ ,  $e=-0.4588$

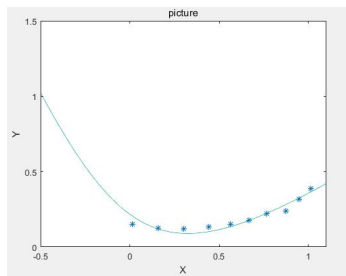
图像:



当  $k=3$  的时候:

轨道参数:  $a=0.4205$ ,  $b=0.8797$ ,  $c=0.5263$ ,  $d=0.7614$ ,  $e=-0.1692$

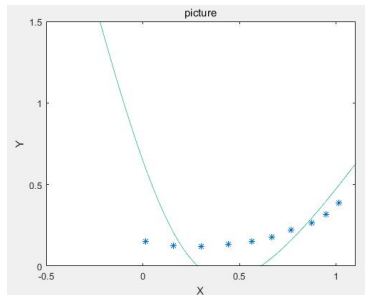
图像:



当  $k=2$  的时候:

轨道参数:  $a=0.1029$ ,  $b=0.3378$ ,  $c=0.8933$ ,  $d=0.2012$ ,  $e=-0.1729$

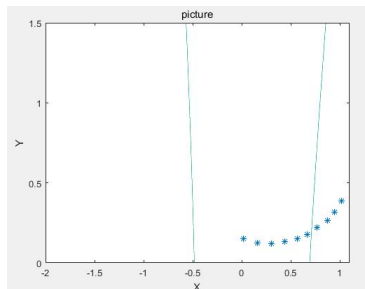
图像:



当  $k=1$  的时候:

轨道参数:  $a=0.0186$ ,  $b=0.0540$ ,  $c=0.2105$ ,  $d=0.0729$ ,  $e=0.3348$

图像:



在扰动过后, 轨道曲线会有所减小, 且与真实点之间的误差会有所加大。主要是原来矩阵的条件数过大, 所以非常敏感, 原来不改动的要更好一点。

(g) 完全最小二乘得到的参数:

$a=-0.1430$ ,  $b=0.0201$ ,  $c=0.0220$ ,  $d=0.1420$ ,  $e=-0.0185$

**Page 135 E 3.11**

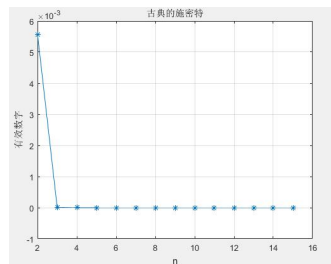
本题选取的矩阵即为书上的例题, 得到的矩阵满足关系式:

$$Q^* \begin{bmatrix} R \\ 0 \end{bmatrix} = A$$

所以豪斯霍德尔下的 QR 分解非常成功。

### Page 135 E 3.12

a. 古典格拉姆施密特：

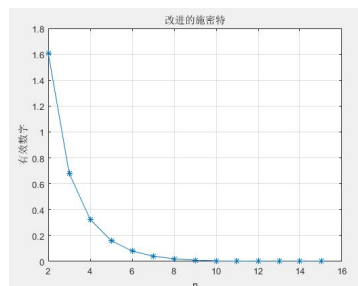


耗时：0.230s

存储量：较大

精确度：非常不好

改进格拉姆施密特：

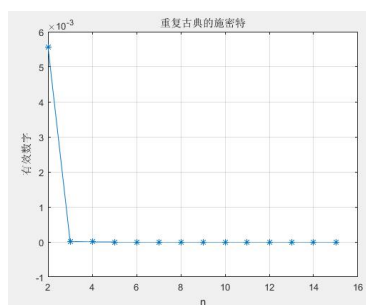


耗时：0.216s

存储量：较小

精确度：有待提高

重复的古典格拉姆施密特：

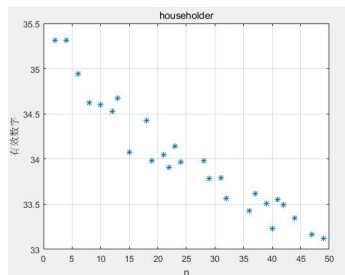


耗时：0.245s

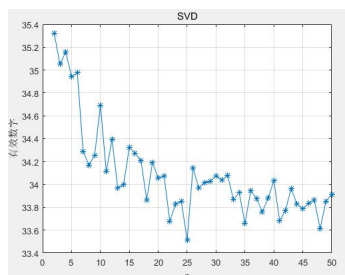
存储量：大

精确度：非常不好

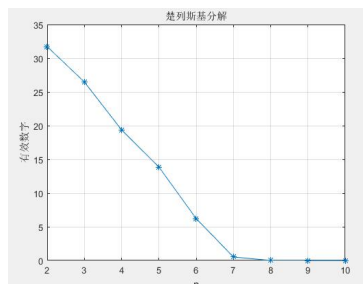
b. 豪斯霍尔德方法下希尔伯特矩阵 QR 分解的正交损失图像：



c.SVD 方法下希尔伯特矩阵 QR 分解的正交损失图像:



d.楚列斯基分解下的的希尔伯特矩阵的正交损失图像:



### Page 133 E 3.3

a.本题选择的步数是 5 步，即从 100 到 500。需要计算的时间是 LU 分解的时间，即：

$$LU(A)$$

由于题目中要求是三次拟合，所以我们得到如下的最小线性二乘单一等式：

$$[n^3, n^2, n, 1] * [a, b, c, d] = t_l$$

其中 a,b,c,d 是需要求的拟合公式的系数，那么我们得到如下的线性最小二乘方程组：

$$\begin{bmatrix} 100^3 & 100^2 & 100 & 1 \\ 200^3 & 200^2 & 200 & 1 \\ 300^3 & 300^2 & 300 & 1 \\ 400^3 & 400^2 & 400 & 1 \\ 500^3 & 500^2 & 500 & 1 \end{bmatrix} * \begin{bmatrix} a \\ b \\ c \\ d \end{bmatrix} = \begin{bmatrix} t_1 \\ t_2 \\ t_3 \\ t_4 \\ t_5 \end{bmatrix}$$

解出系数参数，就可以得到拟合的多项式：

$$a * n^3 + b * n^2 + c * n + 1 = f(t)$$

b.本题的思路是选取一个 1000\*1000 的全是 1 的矩阵：

$$\begin{bmatrix} 1 & 1 & 1 & 1 \\ 1 & \dots & \dots & \dots \\ 1 & \dots & \dots & \dots \\ 1 & \dots & \dots & 1 \end{bmatrix}_{1000 \times 1000}$$

接着考虑两个矩阵相乘的时间 t1，即每一行乘以每一列有 1000 次乘法，999 次加法，这样我们就得到了总的乘和加的步数：1999000000。接着用 t1/1999000000=t2。t2 是一个基本步的时间。再用库函数得到对其 LU 分解的时间 t3，用 t3/t2 就得到了计算量的主项。

而误差主要是两个原因引起的。第一个是因为在计算单个乘法和加法时作用的方法

## 实验分析



求得的时间有误差。其次 LU 分解的时间也有误差。但都是小的误差，所以实际值和理论值不会有主项上的差别。

#### Page 135 E 3.11

b.扰动的估计可以用以下公式来进行衡量：

$$\frac{\|\Delta x\|_2}{\|x\|_2} \leq \text{cond}(A) \cdot \frac{1}{\cos \theta} \cdot \frac{\|\Delta b\|_2}{\|b\|_2}$$

经过计算初始矩阵 A 的条件数为：

$$\text{cond}(A) = 688.4294$$

这个条件数非常的大，所以最小二乘问题的解的敏感性非常的强。所以小的变动也会引起图像大的变化。

c.当矩阵的秩不变的时候，扰动行大的原因在于原矩阵的条件数过大，及

$$\text{cond}(A) \geq 600$$

当矩阵的秩减少时，对解有影响的 A 的部分减少，这时  $\text{cond}(A)$  就会减小，所以扰动行更小。而矩阵的秩再减小的时候，有效信息因为误差过大会被舍去，所以图像改变太大，拟合效果不好。综上所述， $\text{rank}=4$  的时候最佳。

e.用奇异值分解求解主要用到了以下两个公式：

$$A = U\Sigma V^T = [U_1, U_2] \begin{bmatrix} \Sigma_1 \\ 0 \end{bmatrix} V^T = U_1 \Sigma_1 V^T$$

$$x = V \Sigma_1^{-1} U_1^T b$$

f.我们来看扰动前后两个矩阵的条件数：

$$\text{cond}(A) = 688.4294$$

$$\text{cond}(A1) = 629.6535$$

我们发现扰动之后并没有使敏感度减小多少，相反精确度有所下降。而评判一个最小二乘的优劣主要是拟合程度。所以拟合好的优先考虑。所以没有扰动的更好！

g.完全最小二乘考虑如下矩阵的 SVD 分解：

$$[A, b]$$

接着用：

$$[A, b] = U\Sigma V^T = [U_1, U_2] \begin{bmatrix} \Sigma_1 \\ 0 \end{bmatrix} V^T = U_1 \Sigma_1 V^T$$

$$x = V \Sigma_1^{-1} U_1^T b$$

就可以求解改进后的最小二乘值。

#### Page 135 E 3.11

本题的代码主要针对的就是一般的豪斯霍尔德变换，只是对 QR 分解中的 Q 进行了单独的存储，具体操作如下：

首先把 Q 存储为单位矩阵；

接着采用： $Q=H*Q$ ；

直到不需要迭代停止。

#### Page 135 E 3.12

a.我们先分析古典的格拉姆施密特和重复的古典格拉姆施密特方法。因为希尔伯特矩阵的条件数太大，所以希尔伯特矩阵极度地不稳定。在古典的正交方法之下，从第三列往后的正交系数非常的小，所以正交矩阵非常的奇异，所以有效值很小，及误差非常的大。

对于改进的格拉姆施密特方法，效果好很多，除了最后一列是奇异值外，别的都非常好。在具体操作中我选择的矩阵为：

	$A(1:end-1,1:end-1)$ <p>排除最后一行最后一列，就得到了非常好的结果。</p> <p>在时间上，三者并没有太大的差别，改进过后的要稍微好一点。</p> <p>存储量上，改进的要小很多，因为它是直接往后计算，不需要对之前的重新存储，而古典的如下：</p> $b_n = a_n - \sum_{i=1}^{n-1} \frac{\langle a_i, b_i \rangle}{\langle b_i, b_i \rangle} b_i$ <p>需要重复之前的工作，重复古典的不用多说，工作量就更大了。</p> <p>e.首先我们非常清楚希尔伯特矩阵是非常不稳定的矩阵，因为：</p> $\text{cond}(H) \leq \inf$ <p>在这种情况下由于随着 n 的不断变大，条件数过大，矩阵 H 的正交性被进一步降低，再由于正规矩阵本身带有误差，设对 H 的扰动为 E，由公式得：</p> $(H+E)^T(H+E)(x+\Delta x) = (H+E)^T b$ <p>所以随着 n 变大，E 也越大，当 n 大于等于 10 的时候，计算机的内置楚列斯基分解分解已经无法对以下公式进行分解：</p> $A^T A = L L^T$ <p>另一方面受敏感性影响，从图像可以看出，“有效数字”下降非常快，这不是一个好消息。从公式出发：</p> $-\ln(\ I - Q^T Q\ )$ <p>值越小，里面的越大，那么 Q 的正交性越差，所以楚列斯基分解不是特别的好。</p> <p>而 SVD 和豪斯霍尔德方法就要好的多。因为它们可以从矩阵的对角元中 Q 和 M 中消去奇异值。即</p> $\begin{bmatrix} a & 0 & 0 & 0 \\ 0 & b & 0 & 0 \\ 0 & 0 & c & 0 \\ 0 & 0 & 0 & 0 \end{bmatrix}$ <p>这样可以减少运行时间（出现了大流量的零，稀疏矩阵的运行速度要快很多），提高精确度。从图像也可以看出这两种分解下的“有效数字”减小速度缓慢了很多。</p>
--	--

## 代码附件：

### Page 133 E 3.3

(a)

a=[];

j=1;

for n=100:100:500

    B=rand(n);

    b=[];

    c=0;

    for i=1:10

        t1=clock;

        lu(B);

        t2=clock;

        b(1,i)=etime(t2,t1);

        c=c+b(1,i);

    end

```

        a(1,j)=c/10;
        j=j+1;
    end
    A=[];
    for i=1:5
        g=3;
        for k=1:4
            A(i,k)=(i^g)*(100^g);
            g=g-1;
        end
    end
    Q=eye(5);
    a1=A(:,1);
    for i=1:4
        e=zeros(5,1);
        e(i,1)=1;
        s2=norm(a1,2);
        v=a1-s2*e;
        H=eye(5)-(2*v*v')/(v'*v);
        Q=H*Q;
        A=H*A;
        if i==4
            break;
        end
        a1=A(:,i+1);
        for j=1:i
            a1(j,1)=a1(j,1)-A(j,i+1);
        end
    end
    Q1=Q*a';
    A1(1,:)=A(1,:);
    A1(2,:)=A(2,:);
    A1(3,:)=A(3,:);
    A1(4,:)=A(4,:);
    Q2(1:4,1)=Q1(1:4,1);
    x=inv(A1)*Q2;
    x3=(10000^3)*x(1,1)+(10000^2)*x(2,1)+(10000)*x(3,1)+x(4,1)

```

**(b)**

```

a=ones(1000);
t1=clock;
a*a;
t2=clock;
x1=etime(t2,t1);
t3=clock;

```

```

lu(a);
t4=clock;
x2=etime(t4,t3);
x2/(x1/1999000000)

```

**Page 133 E 3.5:**

**(a)**

```

x=[1.02,0.95,0.87,0.77,0.67,0.56,0.44,0.30,0.16,0.01];
y=[0.39,0.32,0.27,0.22,0.18,0.15,0.13,0.12,0.13,0.15];
A=[];
b=[];
for i=1:10
    A(i,1)=y(i)^2;
    A(i,2)=y(i)*x(i);
    A(i,3)=x(i);
    A(i,4)=y(i);
    A(i,5)=1;
    b(i,1)=x(i)^2;
end
[U,S,V]=svd(A);
x1=inv(A'*A)*A'*b;
syms X Y
ezplot(x1(1)*Y^2+x1(2)*X*Y+x1(3)*X+x1(4)*Y+x1(5)==X^2,[-0.5,1.1],[0,1.5])
title('picture');
hold on
plot(x,y,'*')

```

**(b)**

```

x=[1.02-0.005,0.95-0.004,0.87+0.003,0.77-0.0043,0.67-0.005,0.56+0.005,0.44+0.0011,0.30+0.0034,0.16-0.0012,0.01+0.005];
y=[0.39-0.0032,0.32-0.0041,0.27-0.0037,0.22+0.0022,0.18-0.0011,0.15+0.001,0.13+0.0029,0.12-0.0017,0.13-0.0033,0.15+0.001];
A=[];
b=[];
for i=1:10
    A(i,1)=y(i)^2;
    A(i,2)=y(i)*x(i);
    A(i,3)=x(i);
    A(i,4)=y(i);
    A(i,5)=1;
    b(i,1)=x(i)^2;
end
[U,S,V]=svd(A);
x1=inv(A'*A)*A'*b;
syms X Y

```

```
ezplot(x1(1)*Y^2+x1(2)*X*Y+x1(3)*X+x1(4)*Y+x1(5)==X^2,[-0.5,1.1],[0,1.5])
```

```
title('picture');
```

```
hold on
```

```
plot(x,y,'*')
```

(c)

不带扰动的列主元 (rank=4) :

```
x=[1.02,0.95,0.87,0.77,0.67,0.56,0.44,0.30,0.16,0.01];
```

```
y=[0.39,0.32,0.27,0.22,0.18,0.15,0.13,0.12,0.13,0.15];
```

```
A=[];
```

```
b=[];
```

```
for i=1:10
```

```
    A(i,1)=y(i)^2;
```

```
    A(i,2)=y(i)*x(i);
```

```
    A(i,3)=x(i);
```

```
    A(i,4)=y(i);
```

```
    A(i,5)=1;
```

```
    b(i,1)=x(i)^2;
```

```
end
```

```
[Q,R,E]=qr(A);
```

```
b1=Q'*b;
```

```
b2=b1(1:4,1);
```

```
R=R(1:4,1:4);
```

```
x2=inv(R)*b2;
```

```
x3=[x2;0];
```

```
x1=E*x3
```

```
syms X Y
```

```
ezplot(x1(1)*Y^2+x1(2)*X*Y+x1(3)*X+x1(4)*Y+x1(5)==X^2,[-3,3],[0,1.5])
```

```
title('picture');
```

```
hold on
```

```
plot(x,y,'*')
```

(e)

```
x=[1.02,0.95,0.87,0.77,0.67,0.56,0.44,0.30,0.16,0.01];
```

```
y=[0.39,0.32,0.27,0.22,0.18,0.15,0.13,0.12,0.13,0.15];
```

```
A=[];
```

```
b=[];
```

```
for i=1:10
```

```
    A(i,1)=y(i)^2;
```

```
    A(i,2)=y(i)*x(i);
```

```
    A(i,3)=x(i);
```

```
    A(i,4)=y(i);
```

```
    A(i,5)=1;
```

```
    b(i,1)=x(i)^2;
```

```
end
```

```
[U,S,V]=svd(A);
```

```

U1=U(:,1:5);
S1=S(1:5,1:5);
S1(1,1)=1/S1(1,1);
S1(2,2)=1/S1(2,2);
S1(3,3)=1/S1(3,3);
S1(4,4)=0;
S1(5,5)=0;
x1=V*S1*U1'*b

syms X Y
ezplot(x1(1)*Y^2+x1(2)*X*Y+x1(3)*X+x1(4)*Y+x1(5)==X^2,[-0.5,1.1],[0,1.5])
title('picture');
hold on
plot(x,y,'*')
(f)
x=[1.02-0.005,0.95-0.004,0.87+0.003,0.77-0.0043,0.67-0.005,0.56+0.005,0.44+0.0011,0.30+0.0034,0.16-0.0012,0.01+0.005];
y=[0.39-0.0032,0.32-0.0041,0.27-0.0037,0.22+0.0022,0.18-0.0011,0.15+0.001,0.13+0.0029,0.12-0.0017,0.13-0.0033,0.15+0.001];
A=[];
b=[];
for i=1:10
    A(i,1)=y(i)^2;
    A(i,2)=y(i)*x(i);
    A(i,3)=x(i);
    A(i,4)=y(i);
    A(i,5)=1;
    b(i,1)=x(i)^2;
end
[U,S,V]=svd(A);
U1=U(:,1:5);
S1=S(1:5,1:5);
S1(1,1)=1/S1(1,1);
S1(2,2)=1/S1(2,2);
S1(3,3)=1/S1(3,3);
S1(4,4)=0;
S1(5,5)=0;
x1=V*S1*U1'*b

syms X Y
ezplot(x1(1)*Y^2+x1(2)*X*Y+x1(3)*X+x1(4)*Y+x1(5)==X^2,[-0.5,1.1],[0,1.5])
title('picture');
hold on
plot(x,y,'*')
(g)
x=[1.02,0.95,0.87,0.77,0.67,0.56,0.44,0.30,0.16,0.01];

```

```
y=[0.39,0.32,0.27,0.22,0.18,0.15,0.13,0.12,0.13,0.15];
```

```
A=[];
```

```
b=[];
```

```
for i=1:10
```

```
    A(i,1)=y(i)^2;
```

```
    A(i,2)=y(i)*x(i);
```

```
    A(i,3)=x(i);
```

```
    A(i,4)=y(i);
```

```
    A(i,5)=1;
```

```
    b(i,1)=x(i)^2;
```

```
end
```

```
A1=[A,b];
```

```
[U,S,V]=svd(A1);
```

```
S1=S(1:5,1:5);
```

```
S1(1,1)=1/S1(1,1);
```

```
S1(2,2)=1/S1(2,2);
```

```
S1(3,3)=1/S1(3,3);
```

```
S1(4,4)=1/S1(4,4);
```

```
S1(5,5)=1/S1(5,5);
```

```
V(1:end-1,1:5)*S1*U(:,1:5)'\*b
```

**Page 135 E 3.11:**

```
A=[1,0,0;0,1,0;0,0,1;-1,1,0;-1,0,1;0,-1,1];
```

```
Q=eye(6);
```

```
a=A(:,1);
```

```
for i=1:3
```

```
    e=zeros(6,1);
```

```
    e(i,1)=1;
```

```
    s2=norm(a,2);
```

```
    v=a-s2*e;
```

```
    H=eye(6)-(2*v*v')/(v'*v);
```

```
    Q=H*Q;
```

```
    A=H*A
```

```
    if i==3
```

```
        break;
```

```
    end
```

```
    a=A(:,i+1);
```

```
    for j=1:i
```

```
        a(j,1)=0;
```

```
    end
```

```
end
```

**Page 135 E 3.11:**

**(a)**

古典格拉姆施密特:

```
b=[];
```

```

s=1;
for n=2:15
    A=hilb(n);
    for i=2:n
        for j=1:i-1
            A(:,i)=A(:,i)-(A(:,i)'*A(:,j))*A(:,j)/(A(:,j)'*A(:,j));
        end
    end
    A
    Q=-log(norm(eye(n)-A'*A));
    b(s)=Q;
    s=s+1;
end

```

```

plot([2:15],b,'-*')
grid on;
title('古典的施密特');
xlabel('n');
ylabel('有效数字');
改进格拉姆施密特：

```

```

b=[];
i=1;
for n=2:10
    A=hilb(n);
    L=chol(A'*A);
    Q=A*inv(L');
    a=eye(n)-Q'*Q;
    n=norm(a,2);
    t=-log(n);
    b(i)=t;
    i=i+1;
    clear Q
end

```

```

plot([2:10],b,'-g*')
title('楚列斯基分解');
xlabel('n');
ylabel('有效数字');
grid on;

```

重复的古典格拉姆施密特：

```

b= [ ] ;
s=1;
for n=2:15
    A=hilb(n);
    for z=1:2
        for i=2:n

```



```

        for j=1:i-1
            A(:,i)=A(:,i)-(A(:,i)'*A(:,j))*A(:,j)/(A(:,j)'*A(:,j));
        end
    end
end

A
Q=-log(norm(eye(n)-A'*A));
b(s)=Q;
s=s+1;
end
plot([2:15],b,'-*')
grid on;
title('重复古典的施密特');
xlabel('n');
ylabel('有效数字');
(b)
v1=1;
b=[];
for n=2:1:50
    A=hilb(n);
    Q=eye(n);
    a=A(:,1);
    for i=1:n
        e=zeros(n,1);
        e(i,1)=1;
        s2=norm(a,2);
        v=a-s2*e;
        H=eye(n)-(2*v*v')/(v'*v);
        Q=H*Q;
        A=H*A;
        if i==n
            break;
        end
        a=A(:,i+1);
        for j=1:i
            a(j,1)=0;
        end
    end
end
a1=eye(n)-Q'*Q;
m=norm(a1,2);
t=-log(m);
b(v1)=t;
v1=v1+1;
end

```

```

plot([2:50],b,'*')
title('householder')
xlabel('n');
ylabel('有效数字');
grid on;
(c)
b=[];
i=1;
for n=2:50
    A=hilb(n);
    [U,S,V]=svd(A);
    Q=U(:,1:n);
    a=eye(n)-Q'*Q;
    n=norm(a,2);
    t=-log(n);
    b(i)=t;
    i=i+1;
    clear Q U
end
plot([2:50],b,'-r*')
title('SVD');
xlabel('n');
ylabel('有效数字');
grid on;
(d)
b=[];
i=1;
for n=2:10
    A=hilb(n);
    L=chol(A'*A);
    Q=A*inv(L);
    a=eye(n)-Q'*Q;
    n=norm(a,2);
    t=-log(n);
    b(i)=t;
    i=i+1;
    clear Q
end
plot([2:10],b,'-g*')
title('楚列斯基分解');
xlabel('n');
ylabel('有效数字');
grid on;

```